

دراسة البلي الالتصاصي الجاف لمادة مركبة من راتنج الايبوكسي المدعوم بالياف الزجاج

بلقيس محمد ضياء
قسم العلوم التطبيقية
فرع المواد

مزهر علي صاحب
قسم الهندسة الكهروميكانيكية
جامعة التكنولوجية

رولا عبد الخضر عباس
قسم العلوم التطبيقية
فرع المواد

الخلاصة:

أظهرت النتائج المقارنة أن معدل البلي وحجم معدل البلي من كل مادة من المواد المدروسة يزداد مع ازدياد كل من الحمل المطبق ومسافة الانزلاق وصلادة القرص الدوار وزمن استمرار التشغيل.

كما أظهرت هذه التجارب أيضاً أن معدل البلي وحجم معدل البلي يتافقان مع الاستمرار بزيادة قيم الحمل المطبق وزمن استمرار التشغيل.

ومن الجدير بالذكر تم الاستعانة بالتصوير الفوتوغرافي والمجهر لدراسة السمات السطحية للنموذج الخاضع لبعض الفحوصات الساقطة على المذكرة.

تم دراسة البلي الالتصاصي الجاف ومقاومة الانضغاط والصلادة السطحية لمادة مركبة مكونة من مادة الايبوكسي المقاومة بالياف الزجاج. ومن ثم تمت مقارنة خواص هذه المادة المركبة مع خواص مادة الايبوكسي غير المقاومة وذلك للحالة تأثير عملية التقوية على خواص المادة المركبة عند درجة حرارة ($20^{\circ}C$). وقد كانت نسبة الكسر الحجمي المستخدمة للنموذج المحضر هي (25%) وأن مواد التقوية المستخدمة هي عبارة عن ألياف زجاجية (غير محاكاة) بشكل حصير (Chopped strand mat). توصلت هذه الدراسة إلى أن معدل البلي (Wear rate) يقل في حالة التقوية، بينما ظهرت زيادة في قيم مقاومة الانضغاط والصلادة السطحية.

معنى الرمز	الوحدة	الرمز	Meaning
معدل البلي	gm/cm	W.R	Wear rate
الوزن المفقود (كمية البلي)	gm	ΔW	Weight loss (wear amount)
وزن العينة قبل الاختبار	gm	Wo	Weight of sample before test
وزن العينة بعد الاختبار	gm	Wi	Weight of sample after test
مسافة الانزلاق	cm	S.D	Sliding distance
سرعة القرص الدوار	Period/sec	N	Disc velocity
زمن التشغيل	sec	t	Running time
سرعة الانزلاق	cm/sec	v	Sliding velocity
حجم معدل البلي	cm ³ .cm ⁻¹	dV/dL	Volume of wear rate
الحجم	cm ³	V	Volume
الكتافه	kg/cm ³	ρ	Density
نصف قطر القرص الدوار	cm	r	Radius of disc
مقاومة الانضغاط	MPa	σ_{frac}	Compressive strength
المضغوطية	مجرد من الوحدات	E_{frac}	Compressibility
الطول النهائي	mm	l	Finale length
الطول الابتدائي	mm	l_0	Initial length
الكسر الوزني	%	Ψ	Fibers weight fraction
وزن الالياف	gm	Wf	Weight of fibers
وزن المادة الاساس	gm	Wm	Weight of matrix material
وزن المادة المركبة	gm	Wc	Weight of composite material
الكسر الحجمي للالياف	%	ϕ	Fiber volume fraction
ρ_m	kg/cm ³	ρ_m	Matrix density
ρ_f	kg/cm ³	ρ_f	Filler density
راتنج الايبوكسي	—	EP	Epoxy resin

Glass fibers	G.F.	—	الياف الزجاج
Epoxy reinforced with glass fibers	EP+G.F	—	راتنج الأيبوكسي + الياف الزجاج
Unsaturated polyester	UP.	—	البولي استر غير المتشع
Novolak	Nov.	—	النوفولاك

و مع التقدم العلمي
والقني بترت
العديد من التقنيات
ك(التطبيقات

الفضائية والتطبيقات المستخدمة تحت الماء وبعض التطبيقات الخاصة بوسائل النقل) تطلب مواد ذات مواصفات مثالية [5] وأن المقصود بالمواد المثالية هي تلك المواد التي تتمتع بخواص معينة نورد منها ما يلي [6][7]:

1- المقاومة والمتانة. 2- انخفاض الكثافة. 3- خواص كهربائية وحرارية جيد. 4- صلادة سطحية عالية. 5- مقاومة للمواد الكيميائية والرطوبة. 6- مقاومة لدرجات الحرارة. 7- إمكانية التشكيل بأشكال وأحجام مختلفة بسهولة وفي نفس الوقت ذات كلفة قليلة نسبياً.
فعلى الرغم من كون المعادن وكل السبائك تمتاز بأنها قوية ومتينة إلا أنها تفتقر إلى المقاومة والمتانة، لذلك كان ابتكار المواد المركبة بمثابة الخطوات الأولى من أجل بلوغ تلك الخواص المثالية المرغوب فيها في أغلب الصناعات [6].
هذا ومن الجدير بالذكر أن مصطلح مركب يستخدم في علم المواد ليعني المادة المكونة من مادة رابطة التي تتضمن عوامل القوية أو التسلیح وعليه فالمادة المركبة هي المادة المؤلفة من اثنان أو أكثر من المكونات، لذلك تصنف المركبات حسب أشكال التدعيم الشائعة الاستعمال إلى [8]:

-1- المركبات الحبيبية (Particulate composites) . 2- المركبات الليفية (Fibrous composites) . 3- المركبات الصفارجية أو الرقائقية (Laminated composites) .
أن النوع الأول يتتألف من دقائق منشورة في المادة الرابطة كما هو الحال مع الكونكريت والنوع الثاني يتتألف من ألياف ذات مقاومة عالية مغمورة في مادة رابطة كما أن كلًا من الألياف والمواد الرابطة يحتفظان بخواصهما الفيزيائية والكيميائية ويتضمان بصفة التآزر أو التساند (Synergism) وهذا النوع ينقسم إلى نوعين وكما يلي:-
أ- المركبات ذات الألياف الطويلة (fibers) .
Continous .

ب- المركبات ذات الألياف القصيرة (Short fibers) .
أما النوع الثالث من المركبات فإنه يشكل عند تشكيل طبقات متعددة من المادة المركبة مع بعضها لتكون صفيحة من المادة المركبة وعندما تكون كل طبقة من الطبقات أعلى متماثلة أو مشابهة فإن هذه الطبقات تسمى صفيحة (Laminate) مثل الورق والخشب الرقائقي (خشب مصنوع من طبقات رقيقة مغراة) أما إذا كانت الطبقات المكونة للصفيحة مختلفة في تركيبها الميكانيكية المتعددة المتضمنة في عملها ظاهري الاحتكاك والبلى ليست لغرض معرفة التأثيرات السلبية لمثل هذه الظواهر فحسب، بل ولسيطرة على تأثيراتها الاقتصادية وتوفير الحماية منها.

المقدمة:
 تعد مشكلة
الاحتکاك
(Friction)

والبلى (Wear) من المشاكل المهمة والكبيرة التي تعاني منها جميع أنظمة التشغيل ذات الحركات الترددية أو الانزلاقية أو التدرجية وذلك بسبب تأثيرها السلبي على دقة أداء وعمل تلك المكائن حيث يمكن أن تقلل من قدرتها العملية أو كفاءتها الإنتاجية علاوة على الخسائر الجسيمة المترتبة من جراء إصلاح وإعادة بناء الأجهزة التالفة [1]. فالبلى (Wear) يعرف على أنه عملية فقدان المادة من أحد السطحيين أو كليهما عندما يكونان تحت تأثير حركة نسبية أو هو الاستمرار في فقدان المادة من السطح عندما يكون محملًا تحت تأثير حركة نسبية [2] فالمعروف أن هناك عدة أشكال لآلية البلى (Wear) نتيجة الاتصال بين السطوح أو بفعل غازات أو سوائل تحتوي على دقائق صلدة ذكر منها ما يلي [3] [4]:

1- البلى الانصافي (Adhesive wear). 2- البلى الحكي (Fatigue). 3- البلى الكلالي (Fretting wear). 4- البلى التقرح (wear). 5- البلى الفجوى (Cavitations wear). 6- البلى الانفصالي (Delaminating wear). 7- بلى التعريه (Corrosive wear). 8- البلى التآكل (Erosive wear).

ونظراً للمخاطر الناجمة عن ظاهري الاحتكاك والبلى فقد أهتم الباحثون بدراسة الاحتكاك والبلى ومعرفة أسبابها والعوامل المؤثرة عليهم، وقد عملوا على تقليل هذه الظاهرة باستخدام وسائل ذات تقنيات حديثة ومتعددة منها تحسين الصلادة السطحية، أو استخدام الكرنبنة والبودرة وكذلك استخدام أشعة الليزر واستغلال خاصية التحوّلات الطورية لبعض المواد عند سطوحها المحتكرة أثناء الخدمة .

حيث تعد سبائك النحاس وخاصة مسبوكات سبائك البرونز الاختيار الأمثل للمحاميل (Bearings) عند تشغيلها مقابل الفولاذ أو حديد الزهر حيث تمتاز سبائك البرونز بالمتانة، قابلية التشغيل، مقاومة جيدة لاحتكاك والبلى إضافة إلى مقاومتها للتآكل الكيميائي [1]، إلا أن في السنوات الأخيرة استعملت المواد الدائنية كبديل عن المعادن بشكل متزايد في مجال علم الترابيولوجيا رغم أن هذه المواد الدائنية ذات معاملات احتكاك ليست بالواطئة لكن فائدتها الرئيسية تكمن في أنها قليلة التآكل (البلى) باستثناء التفلون (PTEF) الذي له معامل احتكاك قليل جداً يقدر بـ (0.05)[4].

(المواد المكونة لها مختلفة كأن تكون ذات ألياف مختلفة) فإن الصفيحة تسمى بالصفيحة المهجنة ولذلك يدعى هذا النوع المركبات المهجنة (Hybrid composites)[8].
لهذا نجد من الضروري إجراء دراسات مستفيضة حول تلك المواد المركبة التي تدخل في عمليات تشغيل الأنظمة

يكون ذو قيمة مرتفعة في الخليط الثانية وأن معدل البلي يزداد مع زيادة الحمل المسلط إلى مقدار (20N) علامة على ذلك أن الخليط البوليمرية المتزلقة على قرص النحاس الدوار تبدي معدل بلى عالي مقارنة بقرص الجديد [13].

الهدف من الدراسة:

المساهمة في تحسين بعض الخواص الترايبولوجية (Tribological properties) لراتج الأبيوكسي وذلك بتدعميه بالياف زجاجيه (غير محاكة) بشكل حصيرة (Chopped strand mat)، ونظرأ لكون ألياف الزجاج مواد ذات موصلية حرارية منخفضة الأمر الذي يستدعي أن يكون الكسر الحجمي قليل عما هو سائد عليه لتحسين خصائص البلى (characteristics – life) بصورة خاصة، حيث أن عمر البلى (Wear) للمركب المحضر يتأثر بارتفاع درجة الحرارة السطحية أثناء العمليات الانزلاقية. وللوصول إلى هذا الهدف تم استخدام ألياف الزجاج بكسر حجمي قدره (25%).

علاوة على تحديد مدى الانحراف الحاصل في مقاومة البلي (التاكل) للنماذج قبل وبعده التدعيم وتحت الظروف الجافة مع تغير كل من (الحمل المسلط، مسافة الانزلاق، زمن الانزلاق وصلاحية الفرص الذي تتزلق عليه المادة المحضر).

كما تهدف هذه الدراسة للتعرف على التغيرات الحاصلة في بعض الخواص الميكانيكية ك(مقاومة الانضغاط والصلادة السطحية) للراتنج بعد تدعيمه بالألياف.

(الجانب النظري):

• (البلى الاتصاقى Adhesive wear)

يحدث هذا النوع من البلي في حالة انزلاق السطوح على بعضها البعض [14]، وتحت تأثير حمل بحيث يكون الضغط على النتوءات المتماسة على درجة كبيرة يكفي لأحداث تشوه لدن (plastic deformation) وتلاصق (Local Adhesive) يحصل عند السطوح النظيفة بين عدد قليل من النتوءات لوجود قوة الجذب بين ذرات السطحين [15]. ونظراً لكون مسافة التلامس الحقيقي أقل بكثير من التلامس الظاهري، فإن الضغط يكون على عند قمم النتوءات المتلامسة وباستمرارية الحركة بين السطحين المتلامسين سوف يحصل تمزق في نقاط التلامس، الضعيفة [16].

أن هذا النوع من البلى يقدر بحوالى (15%) من مجموع البلى الكلى الذى تواجهه التطبيقات الصناعية [16]. ويمكن تلخيص أهم أنواع البلى الالتصاصي في الآتى [4]:-

- أ- البلى (تاكيل) المعتمد.
- ب- البلى (تاكيل) الحاد.

وفي عام (1982) قام الباحث (Dowson) وجماعته بدراسة البلي لـ (UUMWPE) Ultra high molecular weight polyethylene المصنوع من نفس المادة مرة وعلى قرص من الفولاذ المقاوم للصدأ الناعم نسبياً (ذا خشونة واطئة) والجاف مرة أخرى وكذلك دراسة تأثير توجيه جزيئات البولي أثيلين (P.E.) على مقاومة البلي وعليه تم التوصل إلى أن الاتجاه العمودي لجزيئات البولي أثيلين (P.E.) على سطح البلي يكون مرغوب فيه بينما الاتجاه الموازي لجزيئات البولي أثيلين (P.E.) على سطح البلي يكون غير مرغوب فيه بينما الاتجاه الموازي لسطح البلي يساهم في تقليل نسبة البلي، أما في حالة انزلاق البولي أثيلين على نفسه فأن جزيئات هذه المادة تكون سهلة الفصل بسبب ارتفاع درجة الحرارة خلال السطح البوليمرى (سطح البولي أثيلين)[9]. وفي عام (1989) قام الباحثان (Gaines) و (Ralph) بدراسة خواص الاحتكاك والبلي والمقاومة الكهربائية لمادة مرکبة من الكربون الزجاجي (Glass carbon) المدعمة بالياف النحاس، وتوصل الباحثان إلى إن قيم المقاومة الكهربائية ومعامل الاحتكاك تكون مقاربة جداً إلى القيم القياسية للمقاومة الكهربائية ومعامل الاحتكاك لتلك المواد الداخلة في تكوين المركب. واستطاع الباحثان إنتاج تلك المادة المرکبة عن طريق عملية البلمرة العضوية لتكوين المادة الأساس (Glass carbon) حول الألياف النحاسية المستخدمة في التعديم وتعتبر تلك الطريقة مختلفة عن الطرائق التقليدية لإنتاج المادة المرکبة من المساحيق بواسطة المكبس أو انتشار المعدن إلى داخل الجسم الكراجيتي. وتتميز المادة الناتجة بهذه الطريقة بامتلاكهـا مواصفات خاصة حيث تمتاز بسهولة المداولة لأنها مواد ذات متانة عالية وذات قابلية امتصاص صدمة عالية بسبب وجود الألياف المعدنية[10].

وفي عام (1993) قام الباحث (Chang) بدراسة خواص البلى لمادة مركبة من راتنج الايبوكسي المدعوم بألياف الكرافيت المستمرة وتوصل الباحث إلى أن أقل نسبة للبلى يتم الحصول عليها عندما يكون اتجاه الألياف هو (30^0) من اتجاه الانلاق [11].

وفي عام (2001) قام الباحثان (Jang) و (Kim) بدراسة تأثير مقدار الرطوبة على خصائص الاحتكاك لبعض المواد ومنها الكرافيت و (MoS_2) و (Sb_2S_3) وتوصل الباحثان أن المواد الحاوية على الكرافيت تتأثر بصورة رئيسية بالرطوبة والتي تعطي أقل معامل احتكاك في مستويات الرطوبة العالية بينما المواد الأخرى فإن معامل الاحتكاك لها يكون عالياً وتحت مستوى رطوبة عالى. [12]

وفي عام (2008) قام الباحث (H. J. A. Hussein) بدراسة خاصية البلى الالتصاقي مع تغير الحمل المسلط وسرعة الانزلاق ونوع الفرص الدوار لخلانط بوليمرية مكونة من راتنج الايبوكسي والبولي استر الغير المشبع والنوفولاك) وينسب وزنه قدرها (+20% EP. 80% EP.)، (80% NOV. ، (UP.

وأن (N): سرعة القرص الدوار (Disc velocity) والذي يقاس بوحدة (دوره/sec)، علماً بأن سرعة القرص الدوار للجهاز المستخدم في إجراء اختبار البلي (wear) والذي يقدر بـ (دوره/دقيقة أو r.p.m).
 (D): قطر الانزلاق (Sliding diameter) ويقاس بـ (cm).

وأن D يمكن أن يعبر عنه بـ $(2r)$.
 وعليه فإن المعادلة (4) تصبح بشكل التالي [18]:-

$$v = \frac{2\pi r N}{60} \dots (cm/sec) \dots \quad 5$$

وعليه فإن المعادلة (1) تصبح بالشكل التالي:-

$$Wear rate (WR) = \frac{\Delta W}{(2\pi r N / 60)} \dots (gm/cm) \dots \quad 6$$

كما تم حساب حجم معدل البلي (Wear rate volume) بدلاله مسافة الانزلاق ويمكن توضيحه بالمعادلة الآتية [18] :-

$$\frac{dV}{dL} = \frac{\Delta W}{2\pi r t N \rho} \dots \dots \dots \quad 7$$

wear behaviors (Factors affecting

هناك عدة عوامل رئيسية ذات تأثير على طبيعة التآكل المتولد في المواد البوليميرية ومركباتها نورد منها مايلي [4][19] :-
 1- نوع الراتنج. 2- مواد التسلیح. 3- توزيع مادة التسلیح.
 4- كفاءة الترابط بين مواد التسلیح والمادة الأساس. 5- الصلادة السطحية . 6- ظروف التشغيل.

(Hardness) الصلادة

يمكن تعريف صلادة المادة بأنه قدرة المادة على مقاومة حدوث علامه بها، أو مقاومة سطح لحدوث خدوش به.

و عند إجراء هذا النوع من التجارب تستخدم عادة رؤوس دقيقة من مواد صلدة لكي تستطيع أن تتغلغل في المادة المصلادة المعطاة. و عند تغلغل الرأس المدبب فإنه يحصل أولاً تشوه مرن (Elastic) يتبعه تشوه لدن (plastic).

ومن الجدير بالذكر أن الصلادة العالية تعتبر مؤشر دقيقاً لمقاومة الصلابة العالية. وبالرغم من ذلك لا تعتبر الصلادة مؤشراً دقيقاً لمقاومة على الآكل الميكانيكي [4] (Wear).

(Compressive Strength) مقاومة الانضغاط

أن مقاومة الانضغاط تعرف بأنها أقصى إجهاد (σ_{frac}) تتحمله المادة الجاسئة تحت الضغط العمودي.

أن التآكل المعتمد يتولد عادة عندما تكون الحمولات واطئة، حيث يكون التماس المعدني معادوماً تقريباً، وتكون نفایيات التآكل (حطام البلي) على شكل دقائق ناعمة جداً وعادة من الأكسيد، وهذا يعني أن التماس المعدني لم يحدث أبداً، إلا أن النفایيات المعدنية الناتجة من التآكل تتراكسد في درجات الحرارة الموضعية العالية، ومع ذلك طبيعة تشابك نتوءات الأسطح المتماسة تكون معتدلة، مولدة تآكلاً معتدلاً وتنعيمياً للسطح المنتمسة.

وتحت حمولات عالية تصبح عملية التآكل أكثر حدة وتكون نفایيات التآكل كبير الحجم نسبياً وتصبح السطوح المتأكلة ذات حشونة عالية ويزداد معدل حجم التآكل بصورة كبيرة جداً، وهذا يدعى مجال التآكل الحاد.

أن من الجدير بالذكر هناك حقيقة غريبة لهذين النوعين من السلوك التآكل، هو التغير السريع من نوع إلى آخر، بمجرد زيادة الحمل [4].

(The Measurement of Wear) قياس البلي

بصورة عامة لقياس البلي نستخدم طريقة واحدة أو أكثر من الطرق الآتية [17] :-

1- الطريقة الوزنیه. 2- طرقة القياس الميكانيکیة. 3- الطريقة الضوئیة. 4- طرقة قياس البلي باستخدام الفحص الإشعاعي.

وفي هذه الدراسة تم اعتماد الطريقة الوزنیه (The Weighting Method).

الطريقة الوزنیه لقياس البلي :-

تعتبر هذه الطريقة سهلة يمكن من خلالها الاستدلال على البلي حيث تعطي هذه الطريقة كمية البلي الكلية، وأن مدى القياس الوزنیه لها بحدود ($10^{-4} gm$) وتتلخص هذه الطريقة بوزن العينة قبل الاختبار وبعده وأن الفرق بين الوزنين يمثل كمية البلي [17].

يمكن حساب معدل البلي للمواد البوليميرية ومركباتها المحضرة باستخدام الطريقة الوزنیه من العلاقة الآتية [1][18] :-

$$Wear rate (W.R) = \frac{\Delta W}{S.D} \dots \quad 1$$

$$\Delta W = W_0 - W_1 \quad 2$$

أن ($S.D$): مسافة الانزلاق (Sliding distance) يعبر عنها بالمعادلة الآتية [1][18] :-

$$S.D = v.t \quad 3$$

وأن (v): سرعة الانزلاق (Sliding velocity) تعطى بالمعادلة الآتية:-

$$v = \pi D N \quad 4$$

$\psi = \frac{W_f}{W_c} \times 100\% \dots$	9
$W_c = W_f + W_m$	10
$\phi = \frac{1}{1 + \left(\frac{1 - \psi}{\psi} \times \frac{\rho_f}{\rho_m} \right)}$	11

اما مضغوطه المادة (Compressibility) فتعطى من العلاقة الآتية [21]:-

$$\epsilon_{frac} = \frac{l - l_o}{l_o} \dots$$

8

أن (ϵ_{frac}) تمثل الانفعال عند لحظة انبعاج جوانب المادة وتشققها بسبب تأثير نسبة بويزن (Poisson's effects).

الجزء العلوي:-

- (المواد المستعملة):

أ- المادة الأساس (Matrix Material).

لقد استعمل في هذه الدراسة راتج الايبوكسي المحتوي على مجاميع الايبوكسайд (Epoxides) نوع كونبكسترا (Convextra Ep- 10) (Ep-10) كمادة أساس في المادة المركبة المحضرة، وعادة ما يكون الايبوكسي على شكل سائل شفاف ذو لزوجة واطئة قابل للمعالجة إلى الحالة الصلبة عند تصليله وذلك بإضافة المادة المصلدة (Hardner) من نوع (MPDA) (Metaphenylene) وهو مادة سائلة خفيفة القوام ذات لون شفاف تضاف إلى الراتج بنسبة (3:1) ويحدث التفاعل في درجة حرارة الغرفة ويكون التفاعل باعثاً للحرارة (Exothermic) من نوع تفاعلات الإضافة (Reaction addition).

- ج- تقنية التحضير (Preparation Technique)
- تم تحضير المركب باستخدام تقنية القولبة اليدوية (Hang Lay up Molding) بالخطوات التالية:-
- قطعت طبقات الألياف المستعملة في هذه الدراسة بالإبعاد (25×25cm) وزننت بحيث تحقق الكسر الحجمي (25%) ثم بعد ذلك تم وضعها في المجفف الكهربائي (Oven) بدرجة حرارة (C° 50) لمدة ساعة واحدة لغرض إزالة الرطوبة منها لضمان عدم تكون سطح فاصل مابين المادة الأساسية ومادة التدعيم.
 - تم وزن كمية من الراتج (الايبوكسي) ثم أضيفت له كمية من المصلدة وبنسبة وزنیه تقدر بـ (3:1)، وبعدها تم خلط المحتويات داخل وعاء بلاستيكي علماً بأن الخلط تم بصورة تدريجية لضمان عدم تكون الفقاعات بواسطة قضيب زجاجي ثم بعد ذلك تم الخلط ميكانيكياً وجديراً بالذكر أن الراتج يضاف إلى مواد التدعيم ويخلط قبل تصليله.
 - بعد تحضير الراتج المطلوب إضافته، يتم توزيع طبقة من الراتج على سطح قاعدة القالب بشكل متساوي ومن ثم أضيف طبقة واحدة من حشيرة الألياف على طبقة الايبوكسي وضغطت بصورة عمودية على مستوى قاعدة القالب باسطوانة مسننة من الألمنيوم لغرض طرد الفقاعات، وبعد الانتهاء من عملية الصب ووضع اللوح المعدني (غطاء القالب) على المادة المركبة لغرض انتظام السمك. بعد اكتمال عملية التصلب ولجميع القوالب والتي هي (24) ساعة يتم استخراج المصبوّبات من القوالب، وبعدها تتم عملية استكمال التقسيمة (Post curing) وذلك بمعالجة تلك المصبوّبات بدرجة حرارة (C° 50) ولمدة ثلاثة ساعات وذلك لإتمام التفاعلات الكيميائية وتقليل الإجهادات الداخلية المتكونة أثناء عملية الصب والواقع أن هذه المصبوّبات قطعت بأبعاد قياسية تقدر بـ (20×10×10cm) وحسب المواصفات التي تلائم الماسك (Holder) الذي يثبت العينة في جهاز البلي (Wear)، أما عينات اختبار الانضغاطية فقد قطعت حسب القياسية (ASTM) رقم (D695) وكذلك عينات اختبار الصلادة (Shore-D) قد قطعت حسب المواصفات القياسية (ASTM) رقم (D2240).

د- الأجهزة المستخدمة (Instrument)

- جهاز البلي الالتصاق (Adhesive wear device) تم استخدام جهاز قياس البلي الالتصاقى ذي ترتيبه المسمار إلى القرص (Pin – on – Disc) العراقي المنشأ

ب- مواد التدعيم (Reinforcing Materials).

استعملت الياف الزجاج نوع (E) المحاكاة بهيئة حصيرة من الياف مقطعة (Chopped strand mat) حيث تمتاز الياف الزجاج بكثافة مقدارها (2.6 gm/cm³) ومعامل يونك ذو قيمة تقدر بـ (72 GPa) ومتانة شد بحدود (1700 MPa) [22].

- (تحضير النماذج):

تضمنت عملية تحضير النماذج ثلاث مراحل وهي:

- أ- تهيئه القالب (Mold Preparation) ضمن هذه المرحلة تم تهيئه قالب لعملية الصب مصنوع من الحديد المغلون وبأبعاد (25×25cm). بعد تهيئه القالب أجريت له عملية تنظيف دقيقة ثم تبعتها عملية تخفيف، بعد ذلك ولضمان عدم التصاق الراتج على القالب وسهولة استخراج المصبوّبات بعد اكتمال عملية التصلب تم وضع الفلبون اللاصق على الجدران الداخلية للقالب كمادة عازلة بعدها أصبح القالب جاهز لعملية الصب.

ب- نسبة الإضافة (Addition Ratios).

تم تحضير مادة متراكبة بكسر حجمي قدره (25%) وذلك بالاعتماد على العلاقة التالية [6] [20]:-

المادة المركبة باستخدام المجهر الضوئي المزود بكاميرا للتصوير.

ر- تحديد متغيرات الاختبار المؤثرة على معدل البلي في هذه الدراسة الحالية:

١. تأثير تغير زمن الانزلاق.
٢. تأثير تغير الحمل المسلط.
٣. تأثير قطر الانزلاق.
٤. تأثير صلادة القرص الذي تنزلق عليه العينة.

س- الظروف المحيطة (Environmental conditions)

لقد تم اختبار البلي الانزلاقي الجاف للعينات المختبرة تحت ظروف الضغط الجوي الاعتيادي (Normal atmospheric conditions) وفي درجة حرارة الغرفة (Room Temperature) (20±2°C).

ص- قياس معدل البلي (Measurement of wear rate):

وذلك باتباع الخطوات الآتية على الترتيب:-

- ١- تحديد المتغير المراد دراسته وليكن تأثير الحمل المسلط على معدل البلي.
- ٢- تصدير الميزان الحساس ثم وزن العينة قبل التشغيل.
- ٣- تثبيت العينة في المكان المخصص لها مع وضع الحمل العمودي المسلط في المكان المخصص له بحيث يكون عمودياً على العينة.
- ٤- تنظيف القرص الفولاذي قبل التشغيل.
- ٥- تصدير ساعة التوقيت ليتم تشغيل ساعة التوقيت مع جهاز البلي في آن واحد و إيقاف الجهاز بعد مرور فترة زمنية معينة من بدء التشغيل بعد فتح عينة الاختبار من جهاز البلي.
- ٦- تصدير الميزان الحساس ووزن العينة ليتم بعدها حساب حطام البلي (wear debris) باستعمال العلاقة (2)، أما المعادلة (7) فمنها بالإضافة إلى استخدام المعادلة (6).
- ٧- تكرار هذه الخطوات سابقة الذكر مع متغيرات التشغيل الأخرى التي تم تحديدها مسبقاً مع مراعاة تنظيف القرص قبل البدء بتشغيل الجهاز في كل مرة .

النتائج والمناقشة:

(العوامل المؤثرة في طبيعة البلي (التآكل) لمركب ذي وسط بوليمرى)

أ- دراسة أثر المادة المركبة في سلوك البلي.

يتم قياس حطام البلي (Wear debris amount) المتولدة من العلاقة (2)، وكذلك تم قياس كل من معدل البلي (Wear rate) من العلاقة(6) وحجم معدل البلي من العلاقة (7) وبذلك تم الحصول على الأشكال (3)، (4)، (5)، وعلى ضوء نتائج هذا الاختبار تبين أن الوزن المفقود (Weight loss) من الجسم البوليمرى (راتنج الإيبوكسي) قد

والمصمم طبقاً لمواصفات (ASTM) وكما هو موضع بالشكل (1) حيث يتكون الجهاز من محرك كهربائي يدور بسرعة دوران ثابتة تقدر بـ (510 rpm) وتم عملية نقل الحركة من المحرك إلى القرص على مرحلتين، المرحلة الأولى يتم فيها نقل الحركة بواسطة البكرة التي تم تثبيتها عليه وحزام ناقل للحركة نوع (V-Belt) إلى العمود الوسطى التي ثبتت عليه بكرتان أحدهما لاستلام الحركة ولاخرى لنقلها، أما الثانية فتضمن نقل الحركة من العمود الوسطي إلى العمود المثبت عليه القرص، ثم يتم نقل الحركة من المحرك إلى القرص الفولاذى كما يحتوى الجهاز على ذراع مقطع مستطيل توضع في نهايته لنقل الموازنة فضلاً عن وجود عمود ثبت فيه العينة بواسطة ماسك.

٢. جهاز قياس الكثافة (الميزان الحساس) (Instrument mass measurement)

تم استخدام الميزان الحساس نوع (Satorius) المصنع قبل (W – Germany) والذي يتحسس القراءات إلى أربع مراتب عشرية.

٣. جهاز قياس صلادة العينات .

يتم استخدام جهاز (Durometer hardness) نوع (D – Shore) الفرنسي المنشأ في إجراء اختبار الصلادة باستخدام أداة غرز نقطية ويتغلل أداة الغرز النقطية داخل سطح المادة تحت حمل معين يؤدي إلى ظهور على شاشة الجهاز رقماً هو مقياس لمقدار الخدش الحالى لسطح المادة (Surface indentation) وكما هو موضع بالشكل (2).

٤. جهاز قياس الانضغاطية (Compression test instrument)

لحساب مقاومة الانضغاط تم استخدام المكبس الهيدروليكي (Ley Bold Harris No.36110) ومن خلاله يتم تسلیط الحمل بصورة تدريجية حتى يتم حصول الفشل للعينة حيث يمثل أقصى حمل مسلط قيمة مقاومة الانضغاط القصوى لها .

٥. جهاز قياس الخشونة السطحية (Instrument Roughness measurement)

أن سطح البلي يتم تحضيره بأجراء عمليات التعيم باستخدام ورق تعيم ذو درجة تقدر بـ (120) ثم قياس خشونة سطح للعينات باستخدام جهاز قياس الخشونة نوع (z) (Ra) (Taylor – Hobson and Surtronic) حيث استخدمت طريقة (Ra) (μm) وأن هذه الخشونة تشير إلى الطبيعة العشوائية للسطح المنتجة لعملية التجليخ .

٦. جهاز التصوير المجهرى للعينات (Specimens Photomicrography)

بعد الانتهاء من قياس معدل البلي للمادة المركبة الخاضعة لشروط التشغيل المتمثلة بـ (الحمل المسلط = r، 5 min = t، 7cm = R)، صلادة القرص السطيل ذو السرعة العالية = HRC (32)، تم التصوير المجهرى لسطح

ويمكن تفسير البلي (Wear) في المادة المركبة بالاعتماد على آلية التفشير الجانبية (flaking mechanism) وكمالي (Lateral) :-

عند معدلات التحميل الواطئة التي تقدر بـ (5N) تحصل عملية نزع (Removal) كبيرة للنحوت من نوع الراتجية المنتشرة على سطح المادة المركبة التي يضم سطحها نوعين من النحوت هما (نحوت راتجية + نحوت ليفية) بفعل عملية الحرف (Ploughing) الحاصلة بواسطة أحاديد السطح المعدني الذي تنزلق عليه المادة المركبة وكما هو موضح بالشكل (10)، ومع زيادة الحمل المسلط إلى (10N) يلاحظ أن معدل البلي يقل وقد يعزى هذا الانخفاض إلى عمليات النزع البسيطة لقمع النحوت اليفية بفعل الحرف (Ploughing) وذلك لما تمتاز به هذه الألياف من مقاومة قص ومتانة عالية.

علاوة على أن في هذه المراحل من التحميل تبدأ الشرخ الابتدائية بالتكوين عند نهايات الليف (Fiber ends) وكذلك السطح البيني الفاصل بين المادة الأساسية والليف (Fiber /matrix interface) لأن هذه المواقع تعد من أضعف النقاط الموجودة في جسم المركب والذي يعتقد أنها ممتلئة (full) بالفجوات الدقيقة (Microvoid)، يفهم من ذلك أن موقع نمو الشروخ وتكرارها تكون في المناطق تحت السطحية (Sub surface zone) أي بمعنى تحت منطقة تلامس السطحين (Contact region).

ومع استمرار الحركة الانزلاقية وزيادة التحميل الانضغاطي - القصي (Compressive/shear load) (cyclic) (القصي) (الانضغاطي) من (10N إلى 20N) سوف يزداد البلي وقد يعزى ذلك إلى تلاقي هذه الشروخ المتكونة عند معدلات التحميل الواطئة مع بعضها البعض لتكون في نهاية الأمر الشروق الكبيرة المستمرة التي تؤدي بالنتيجة إلى انفصال الدفائق المنشورة (Flake particle) علاوة على أن استمرار زيادة الحمل سوف يؤدي إلى حدوث سحب للألياف (off) من المادة الأساسية (Matrix) من نتيجة لعملية الترقق (Thinning) والتكسير (Fracture) للألياف وبشكل غير منتظم، وعليه فإن حطام البلي المتكون سيكون عبارة عن دفائق من المادة الأساسية (Matrix particles) وألياف مكسرة بأشكال غير منتظمة (irregular shape) (Broken fiber of) وجديرًا بالذكر أن استعمال مواد التدعيم من الألياف القصيرة في المادة المركبة يؤدي إلى توزيع العديد من الشروخ الدقيقة المنفصلة وال موجودة في إمكان ضعيفة من الجسم المركب [19].

2- تأثير زمن الانزلاق في سلوك البلي لمركب بوليمر (Polymer) :-

أوضحت النتائج الممتلئة بالأشكال (11)، (12)، (13)، (14)، أن حطام ومعدلات البلي وحجم البلي في المادة الratجية ومركباتها تعتمد على زمن الانزلاق. فقد أبدت المادة الراتجية الغير مدعة بـ (5min) 14.134×10^{-9} gm/cm² عند زمن انزلاق قدره

انخفضت قيمة بعد تدعيمه بألياف الزجاج نظرًا لما تمتاز به هذه الألياف من خواص جيدة ، علاوة على أن هذه الألياف تعمل على إعاقة تقدم الشروق المتولدة (Crack propagation)

ومما تقدم يمكن القول أن انخفاض كمية حطام البلي يؤدي بدوره إلى نقصان معدلات وحجم البلي .

ب- دراسة تأثير متغيرات الاختبار في سلوك البلي .

أظهرت النتائج المختبرية أن معدلات وحجم البلي تعتمد على شدة التحميل (Severity loading) (Mild wear) ومدى السرعة الانزلاقية (Sliding speed) (Sliding distance) ومسافة الانزلاق ينتج عنها تغيرات تركيبية للجسمين المنزلاقين والتي سيتم تسلیط الضوء عليها في هذه الدراسة وكمالي :-

1- (تأثير شدة الحمل الانضغاطي المسلط في سلوك البلي لمتراكب بوليمر (Polymer)) :-

يلاحظ من الأشكال (6)، (7) و (8) أن حطام ومعدلات وحجم البلي في المادة الراتجية ومركباتها تعتمد على شدة التحميل .

فقد تبين أن زيادة التحميل تقود إلى زيادة معدلات البلي في المادة الراتجية الغير مدعة وكما هو موضح بالشكل (7) حيث يعد البلي في هذه المرحلة من التحميل التي تتراوح بين (5-20N) بالبلي الطري أو المعتدل (المتوسط)

(Mild wear)

في العادة يحدث الأكل الابتدائي (Initial wear) تحت حمولات واطئة للمادة الراتجية الغير مدعة والتي هي قيد الدراسة عندما تنزلق على السطح المعدني من الفولاذ (steel) (Ridge) الذي يضم سطحه العديد من الأحاديد (Edges) وذلك بحرث وخدش (Scratch) قمم النحوت (Scratches) الموجود في سطح المادة البوليمرية الذي يعد أكثر ليه مقارنة بالسطح المعدني، ليتخرج عن عملية الحرف هذه تكون حطام البلي (النأكل) على شكل أجزاء ناعمة متاثرة على سطح القرص الدوار مائة بنسبة قليلة أحاديده (Ridges) [23][24].

وهذا يعني أن طبيعة تشابك نحوت الأسطح المتماسة تكون معتدلة، مولدة تأكلًا معتدلاً وتعتمد على السطوح المتماسة.

بينما أبدت المادة المركبة سلوكًا للبلي مختلفًا عما هو عليه في راتج الإيبوكسي الغير مدمع، فعند تسلیط الحمل الانضغاطي الأولي والذي يتراوح بين (5-10N) يتولد البلي الانقلالي أو التحولي (Transition) (Buckling) ومع الاستمرار بزيادة الحمل المسلط من (10N) إلى (20N) يتولد البلي (mild wear).

وإذا تم التمعن في الشكل (9) الذي يوضح تعرض مادة الإيبوكسي الغير مدمعة بالألياف لحمل انضغاطي (Buckling) (Buckling) (Rupture) بسبب تأثير نسبة بويزن [20].

اللحظية المتولدة بسبب انزلاق السطوح المتلامسة واحتكاكها يزداد مع زيادة مسافة الانزلاق (1). ولكن تسرب الحرارة خلال المعدن عند النتوءات السطحية وعند السرع الانزلاقية العالية هو أقل مما في حالة السرع الانزلاقية الواطئة، ينتج عنه تماش جزئي بين هذه النتوءات للسطحين المنزقين، مما يسبب زيادة في القوة اللازمة لقص نقاط الاتصال وهذه الزيادة تكون أعلى مما في حالة ترابط وتماس ذرات المعدن نفسه إضافة إلى ذلك فإن زيادة سرعة الانزلاق يسبب زيادة في معدل تكوين الطبقة الاوكسيدية على السطح [18].

(الصلادة السطحية) (Hardness)

لقد وجد أن قيم الصلاة قد تحسنت بعد تدعيم الراتنج بالألياف وكما هو موضح بالشكل (20) وذلك لما تمتاز به هذه الألياف من جسامه وكما هو منذكور سابقاً. حيث أبدت المادة الراتنجية ومركباتها زيادة في معدلات البلي مع زيادة صلاة السطح المعدني الدوار، فعند تماش مادة صلبة على رخوة يجب أن يحصل القص في المادة الرخوة بينما يحصل القص على وجه التماش المشترك، عند تلامس مادة صلبة مع آخر صلبة [4] وكما هو موضح بالشكل (21) واستناداً إلى ذلك سوف تزداد عمليات الحرج (Ploughing) والخش لسطح المادة الراتنجية ومركباتها وبالتالي زيادة معدل البلي.

(مقاومة الانضغاط) (Compression strength)

يوضح المخطط (22) العلاقة بين الإجهاد والانفعال للنماذج المحضرة والخاضعة لفحص مقاومة الانضغاط والذي منه يتبع ما يلى:-

1- (Stage1) تدل على أن الإجهاد يتاسب طردياً مع الانفعال الناتج وإذا ما أزيل الإجهاد عادت المادة إلى طولها الأصلي، وتسمى هذه المنطقة من منحنى (الإجهاد - الانفعال) بحد التنااسب (Proportional limit) والتي فيها تخضع المادة لقانون هوك (Hooke's law) الذي ينص على الانفعال الحادث بتأثير المسلط يتاسب طردياً مع الإجهاد المحدث له [20].

2- (Stage2) إذا زاد الإجهاد بعد ذلك بدأ الخط المستقيم بالانحناء والذي يمثل نهاية السلوك المرن في المادة البوليمرية ومركباتها.

3- (Stage3) أن المادة البوليمرية ومركباتها تتعرض إلى الانسياب اللدن (plastic flow) في هذه المرحلة حتى نقطة الكسر (Break point) ويسمى الإجهاد عند هذه النقطة بإجهاد الكسر (σ_{frac}).

كما يشير الشكل (23) إلى حقيقة أن المادة الراتنجية المدعمة بالألياف الزجاجية تبدي مقاومة عالية اتجاه الحمل الانضغاطي عند مقارنة النتائج مع الراتنج بمفرده ويعود السبب في ذلك إلى الخواص المواد المقواة بالألياف الزجاجية (الغير المحاكاة) بهيئة حصيرة.

فإذا كانت جميع الألياف مرصوصة باتجاه قوى الانضغاط فإن الانهيار سيحدث في المادة عند اجهادات أقل بكثير من اجهادات الفشل الشدي.

ويكن السبب في حدوث عملية الحرج الأولى لقمع نتوءات السطح البوليمرية المصحوبة بتناشر الأنفاص البوليمرية في أحاديد السطح المعدني مقللة بذلك ميلان هذه الأحاديد التي سرعان ماتملئ بهذه الأنفاص باستمرارية الحرج ومع زيادة زمن الانزلاق مؤدية بذلك إلى زيادة مساحة التلامس الحقيقية (Real contact area) (24) وعلىه فأن الإجهاد الانضغاطي يكون واطئاً عند نقاط التماش مما يقود على حدوث انخفاض في معدلات البلي وهذا ما حدث عند زمن انزلاق قدره (10min)، ومع زيادة زمن الانزلاق إلى (15min) سوف تكون نفایيات التآكل المتولدة كبيرة الحجم نسبياً وبذلك يكون الضغط على عند قمع النتوءات البارزة مؤدية إلى زيادة معدل البلي وباستمرارية الحركة بين سطحين المتلامسين مع مرور الوقت سوف ترتفع درجة حرارة الاحتكاك لتسبب تليين (softening) للتضاريس السطحية وحصول انسياب لدن وهذا يسبب زيادة مساحة التلامس الحقيقة [24] مؤدياً بدوره إلى الانخفاض في قيم معدلات البلي وهذا ما حصل مع استمرار زمن الانزلاق لـ (20min).

أما المادة المركبة فقد أبدت سلوكاً مماثلاً للبلي الانتقالي عند زيادة زمن الانزلاق من (5-10min) نتيجة لعمليات التزع الكبيرة للنحوئات من نوع الراتنجي والليفي وكما هو مذكور سابقاً.

ومع الاستمرار في زيادة زمن الانزلاق سوف يتحول معدل البلي من الانتقالي إلى الطري أو المعتمد.

3- (تأثير صلاة القرص الدوار في السلوك البلي لمركب بوليمرى):-

تشير النتائج المتمثلة بالأشكال (14)، (15)، (16)، إلى اعتماد كل من حطام ومعدلات وحجم البلي على صلاة القرص الدوار.

حيث أبدت المادة الراتنجية ومركباتها زيادة في معدلات البلي مع زيادة صلاة السطح المعدني الدوار، نتيجة لزيادة عمليات الحرج والخش لسطح المادة الراتنجية ومركباتها وبالتالي زيادة عمليات الإزالة وهذا بدوره يؤدي إلى زيادة معدل البلي.

4- (تأثير مسافة الانزلاق في سلوك البلي لمركب بوليمرى):-

أظهرت نتائج الاختبار العملية التي أجريت والمتمثلة بالأشكال (17)، (18)، (19) اعتماد كل من حطام البلي ومعدلات وحجم البلي على مسافة الانزلاق وهذا ما أكدته الباحث (Lhymn) وجماعته [19].

فقد أبدت المادة الراتنجية ومركباتها زيادة في معدلات البلي مع زيادة مسافة الانزلاق نتيجة لزيادة قيمة الشغل المنجز من قبل قوة الاحتكاك بسبب زيادة مسافة الانزلاق مما يقود إلى تحول تدريجي إلى طاقة حرارية عاملة على زيادة معدل البلي.

وتجدر بالذكر أن هذه النتائج هي معاكسة لما يحصل في دراسة بلي المعادن حيث أنه بزيادة مسافة الانزلاق بقل معدل البلي ويعزى سبب ذلك إلى أن درجة الحرارة

7. V. K. Tewaey, "Mechanics of Fiber composites", Wiley Eastern Limited, New Delhi,(1978).
8. د.طارق سهيل نجم، "المواد المتراكبة البلاستيكية"، ندوة الاتجاهات الحديثة في تكنولوجيا البوليمرات، الجامعة أيار- 12 المستنصرية كلية العلوم /وحدة أبحاث البوليمرات ،)2002.(
9. - K. J.Brown, J. R.AtKinson and D.Dowson, "Journal of Lubrication Technology", Vol.104, January, (1982), PP.(17-23).
10. B. Ralph, A. Bruton, and R. Gaines, IEEE, "Transaction on components, Hybrids and Manufacturing", Vol. 120, No.1, PP.(117-121),(1987).
11. 11- H. W. Chang, "Wear", Vol.85, (1983), PP. (81-91), Elsevier Sequoia/Printed in the Netherlands.
12. Jin Kim, Jae Young Lee and Jang, " Effect Humidity on Friction characteristics of Automotive Friction Materials", KSTLE International Journal , Vol. 2, No.2, PP.(150-158), December (2001).
13. هدى جبار عبد الحسين، " مقاومة البلي لخلانط بوليمرية متصلة حرارياً "، رسالة ماجستير ، قسم العلوم التطبيقية- الجامعة التكنولوجية (٢٠٠٨)
- 14.T. S. Eyre, "Wear Characteristic of Metals", Tribology International, PP. (203-212), October (1976).
15. R. L. Norton, "Machine Design", Printice – Hall Inc, PP. (478-490) New Jersey, (1998).
16. عبد الله محمد علي محمد ، "دراسة وتصنيف مركبات الجامعة -النحاس- الكرافيت" ، قسم العلوم التطبيقية (الكلية التقنية) 2003.
17. Ernest, Rabinowiex, "Friction and Wear of Materials", John Wiley and Sons, Inc,(1964).
18. عبد الله غريب مشاري، "دراسة بلي النحاس الأصفر تحت ظروف الانزلاق الجاف" ، قسم هندسة الإنتاج والمعادن-جامعة التكنولوجية (1986)
19. C. Lhymn, K. E. Tempelmeyer and P. K. Davis, "Composites", Vol.16, No.2, April, (1985).
20. رولا عبد الخضر عباس ، "دراسة الخصائص الحرارية والميكانيكية لمادة التوفولاك ومتراكياتها" ، رسالة ماجستير، (2001) الجامعة التكنولوجية -قسم العلوم التطبيقية
21. H. S. Kaufman, "Introduction to Polymer Science and Technology: SPE Text Book", John Wiley and Sons, New York, (1977).
22. J. P. Schaffer, A. Saxena, S. D. Antotovich, T.H. Sanders, Jr. and Steven B. Warner, "The Science and Design of Engineering Material", Richardson D. Irwin Inc., (1995).
23. N. S. EISSL and H. Cxichos, " Wear", Vol.111, PP. (347-361), (1986).
24. C.Lipson, "Wear Consideration in Design", Prentic – Hall Inc., (1967).

فقد تبين أن المواد المركبة ذات الروابط البنية الضعيفة تبدي مقاومة ضعيفة اتجاه الحمل الانضغاطي ويعزى ذلك إلى حدوث الانلاق الطولي (Longitudinal splitting) عندما تزيد قوى الشد الجانبية (Lateral tensile forces) المتولدة بسبب تأثير نسبة بويزن (Poisson expansion) على مقاومة الروابط البنية للشد، أما إذا كانت المواد المركبة ذات روابط بنية قوية فإن مقاومة الشد الجانبية سوف تزداد وفي هذه الحالة تكون المادة الأساسية (Matrix) متحملة الجزء الكبير من القوة المسلطة. يستدل مما سبق شرحه أن مقاومة الانضغاط للمادة المركبة تعتمد على عدة عوامل نورد منها مايلي:-

- 1- خواص المادة الأساسية ومواد التقوية. 2- قوة الروابط البنية. 3- الكسر الألجمي لمواد التقوية. 4- اتجاهية الألياف [21].

وتجدر بالذكر أن نتائج مضغوطية المادة الراتنجية ومركبها أظهرت سلوك مماثلاً لمقاومة الانضغاط مما يؤكّد حالة التاسب بينهما وكما هو موضح بالشكل (24). الاستنتاجات:-

أن هذه الدراسة أظهرت بأن إضافة ألياف إلى الزجاج إلى راتنج الأيبوكسي يؤدي إلى تحسين بعض الخواص الترابيولوجية ، إذ أمكن خفض معدل البلي لراتنج الأيبوكسي.

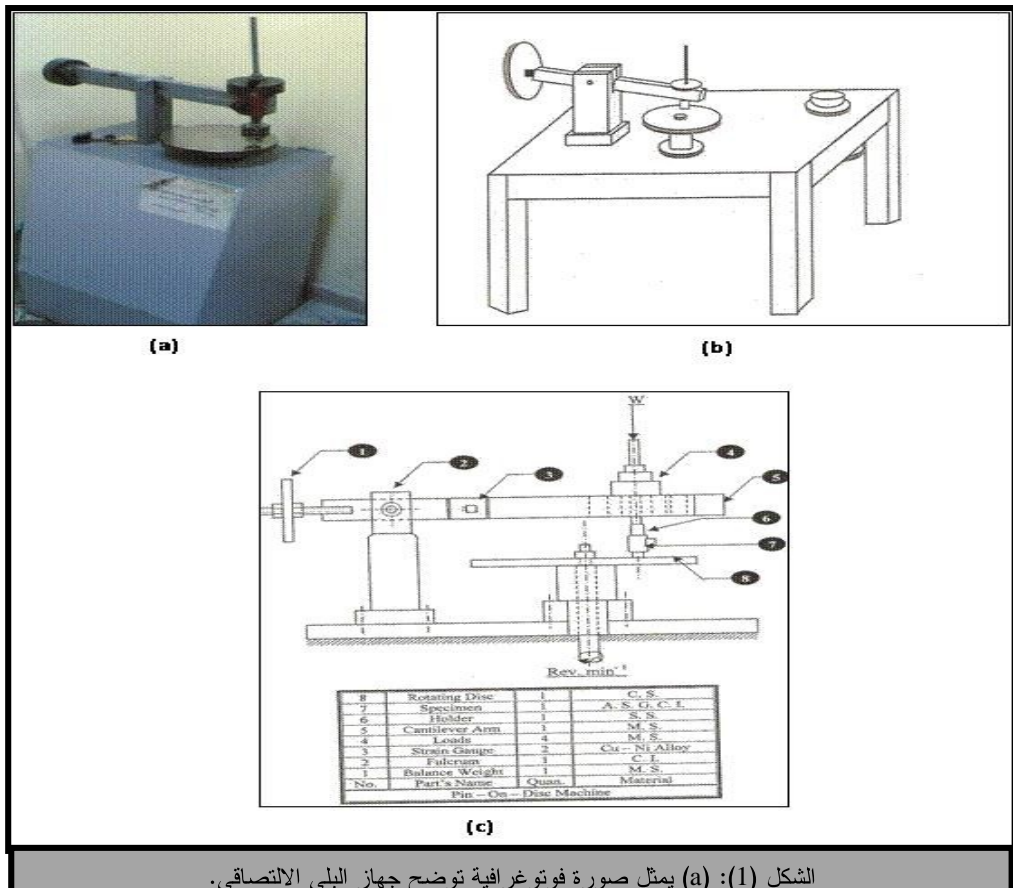
كما لوحظ أن معظم السلوك والخواص التي تتميز بها المادة الراتنجية ومركبها تعتمد على ظروف التشغيل المتمثلة بـ (الحمل المسلط ، زمن الانزلاق ، وسرعة الانزلاق ، ومسافة الانزلاق وصلادة القرص الدوار) التي ينفذ عندها الاختبار وبضاف إلى ذلك تأثير آخر يتمثل بالفحص وطبيعة الهندسية وكما يلي:-

يقل معدل وحجم البلي مع إضافة الألياف إلى راتنج الأيبوكسي ، وأن مقاومة الانضغاط والصلادة السطحية تزداد مع إضافة الألياف للراتنج.

كما تشير النتائج المقارنة أن هناك تغير حاد وسريع في سلوك البلي لراتنج الأيبوكسي ومتراكبة بمجرد زيادة كل من الحمل المسلط وزيادة صلادة القرص الدوار وزمن الانزلاق ومسافة الانزلاق.

المصادر

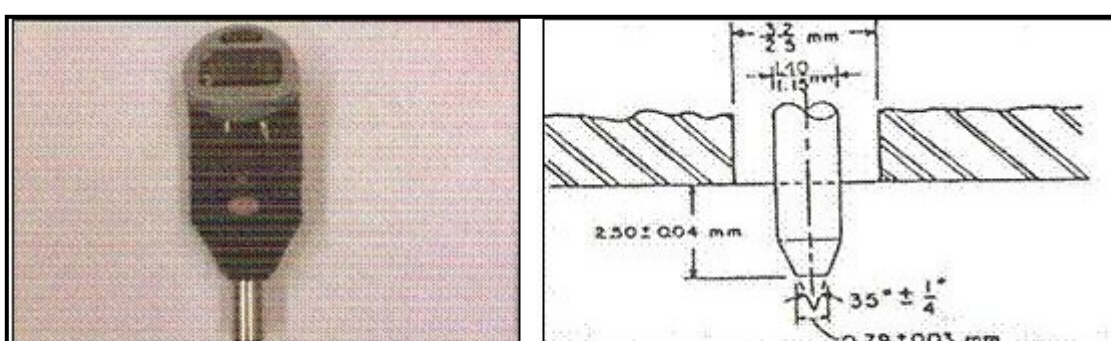
1. مني خضرير عباس وفاضل مالك رشيد، "دراسة البلي الانزلاقي الجاف لبعض سبائك النحاس" ، مجلة الهندسة والتكنولوجيا ، المجلد ٢٤ ، العدد ١ (٢٠٠٥)
2. A. Z Szeri, "Tribology Friction, Lubrication and Wear ", Lithocrafters Inc. (1980)
3. W. Bolten, "Engineering Material Technology", Butter Worth's, Third Edition", U.K.(1998).
4. جون هونك ، ترجمة د.محمد جواد كاظم التورنجي و د. مهدي سعيد حيدر، "مدخل في علم الترابيولوجيا" ، الجامعة التكنولوجيا (جامعة التقنية) قسم الإنتاج والمعادن، (1985)
5. R.J. Crawford, "Plastics Engineering". 2nd Edition Pergamon Press, New York, (1987).
6. D. Hull, "An Introduction to Composite Materials", First Published in (1981).



الشكل (1): (a) يمثل صورة فوتوغرافية توضح جهاز البلي الالتصاصي.

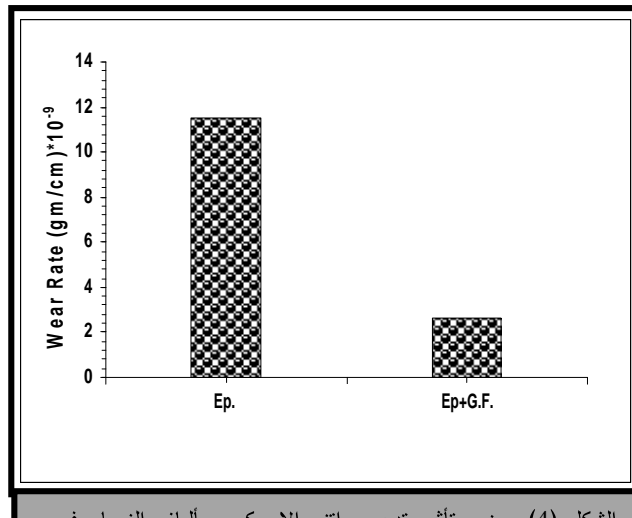
(b) يمثل رسم تخطيطي لجهاز البلي.

(c) يمثل أجزاء ماكينة اختبار البلي المستخدمة في هذه الدراسة.

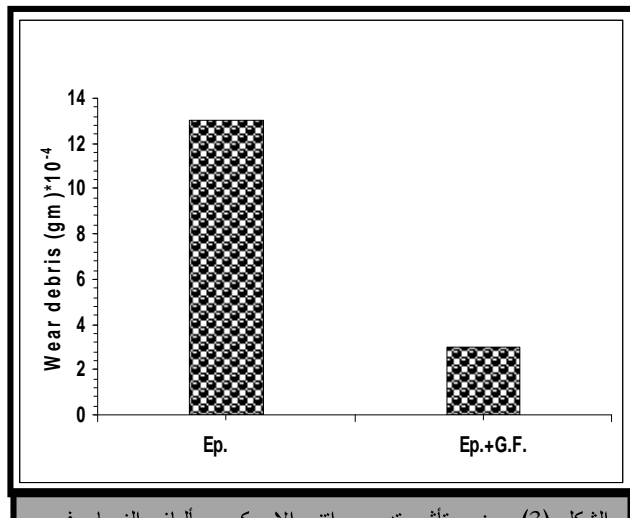


الشكل(2): (a) يبين صورة فوتوغرافية لجهاز (Shore-D) نوع (Durometer hardness).

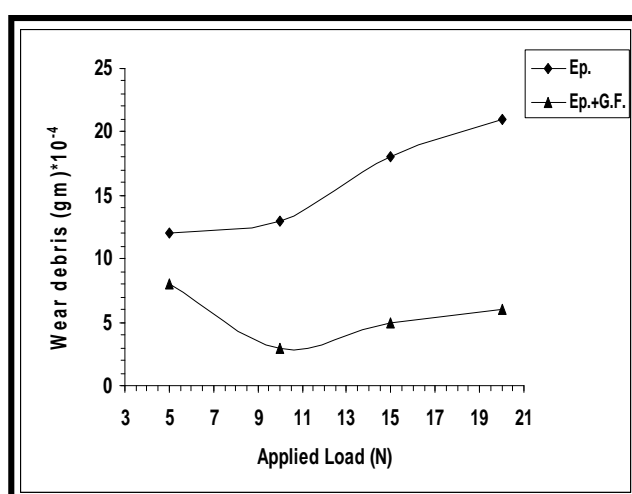
(b) يبين مخطط تخطيطي لأداة الغرز النقطية المتعلقة بال النوع (Shore-D).



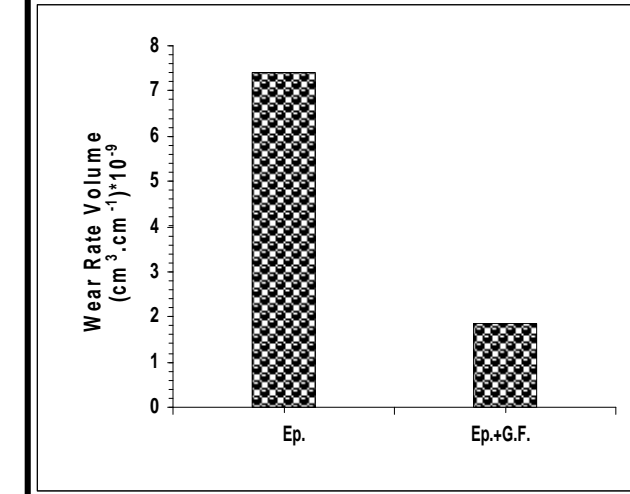
الشكل (4) يوضح تأثير تدعيم راتنج الإيبوكسي بالياف الزجاج في معدل البلي عندما (الحمل المسلط = 5N، $r = 7\text{cm}$ ، صلادة القرص الدوار = 32HRC = 32HRC والזמן = 5min).



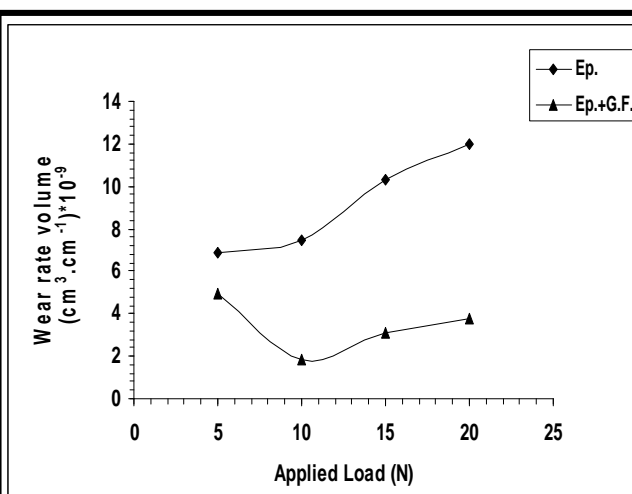
الشكل (3) يوضح تأثير تدعيم راتنج الإيبوكسي بالياف الزجاج في كمية حطام البلي عندما (الحمل المسلط = 5N، $r = 7\text{cm}$ ، صلادة القرص الدوار = 32HRC = 32HRC والזמן = 5min).



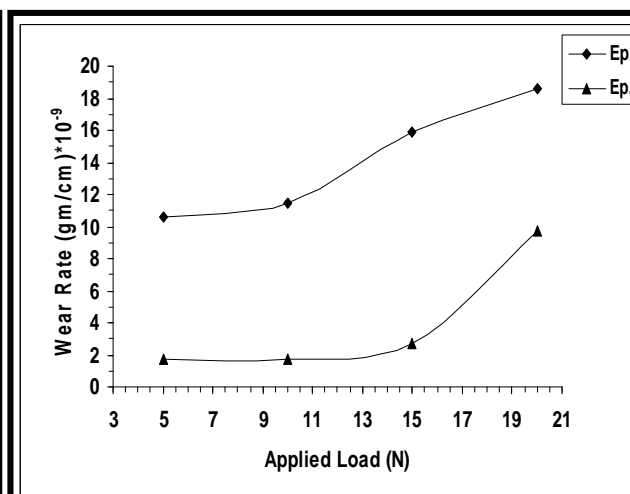
الشكل (6) يمثل العلاقة بين كمية حطام البلي للنماذج المحضره والحمل المسلط عندما ($r = 7\text{cm}$ ، صلادة القرص الدوار = 32HRC = 32HRC والزمن = 5min).



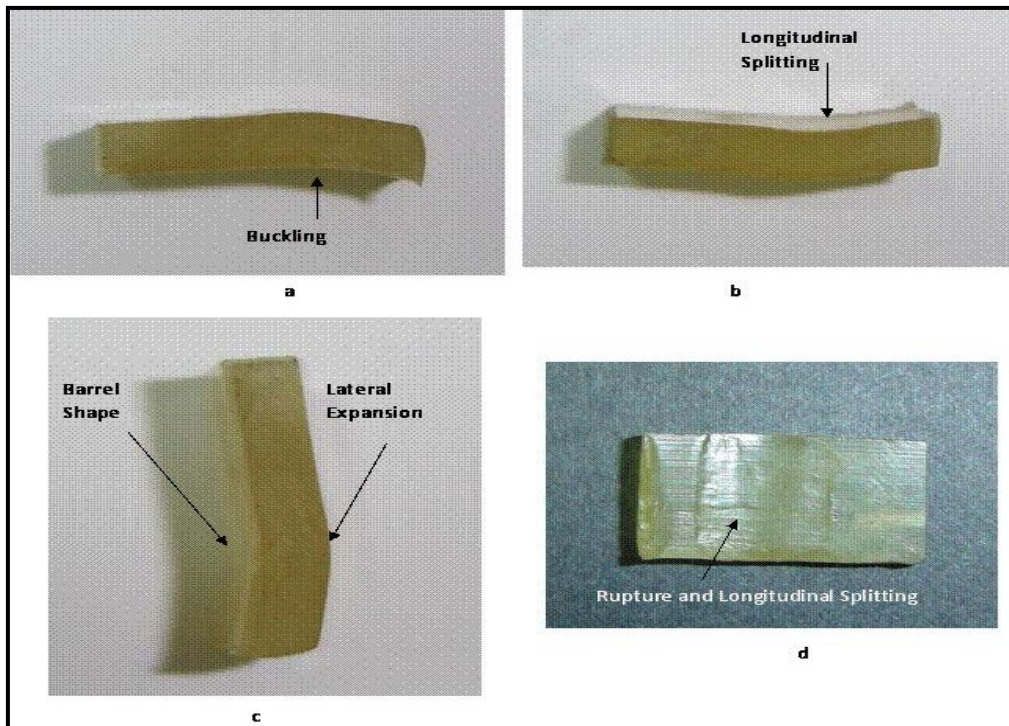
الشكل (5) يوضح تأثير تدعيم راتنج الإيبوكسي بالياف الزجاج في حجم البلي البلي عندما (الحمل المسلط = 5N، $r = 7\text{cm}$ ، صلادة القرص الدوار = 32HRC = 32HRC والزمن = 5min).



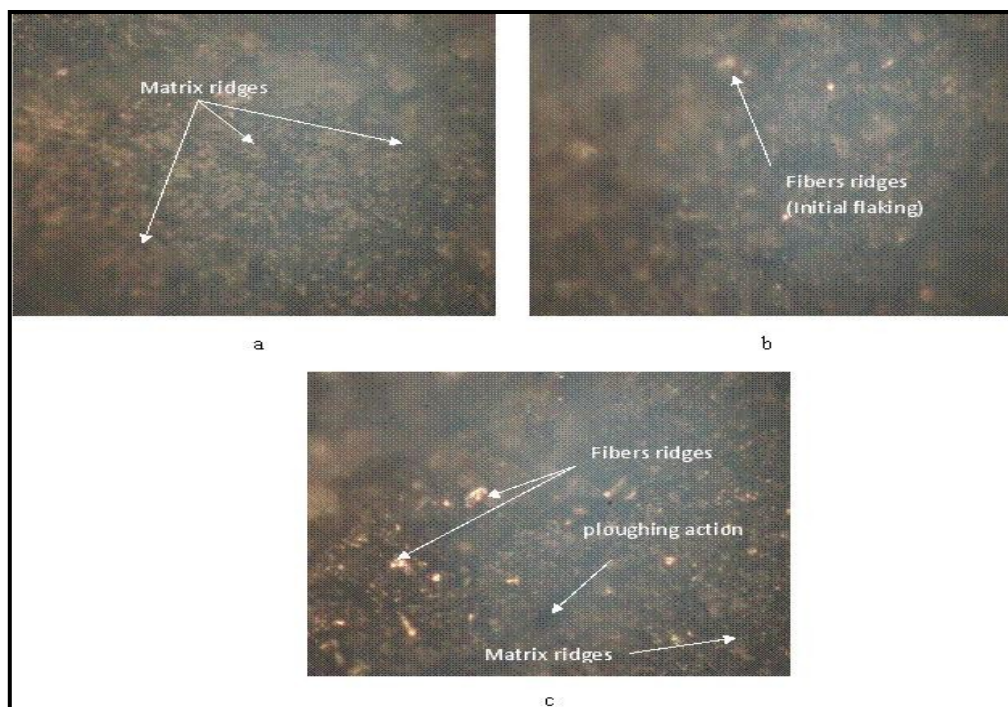
الشكل (8) يمثل العلاقة بين حجم البلي للنماذج المحضره والحمل المسلط عندما ($r = 7\text{cm}$ ، صلادة القرص الدوار = 32HRC = 32HRC والزمن = 5min).



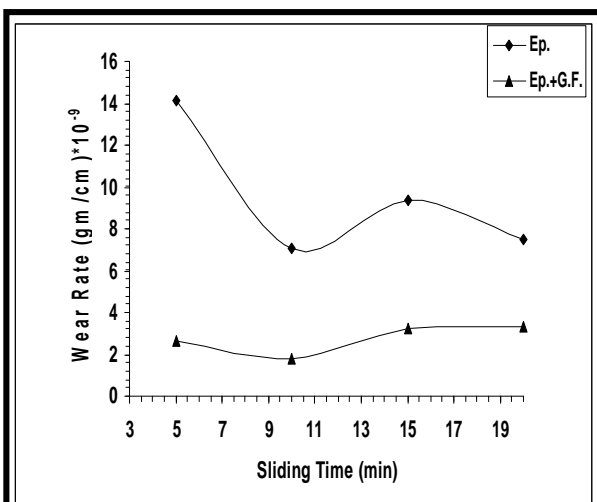
الشكل (7) يمثل العلاقة بين معدل البلي للنماذج المحضره والحمل المسلط عندما ($r = 7\text{cm}$ ، صلادة القرص الدوار = 32HRC = 32HRC والزمن = 5min).



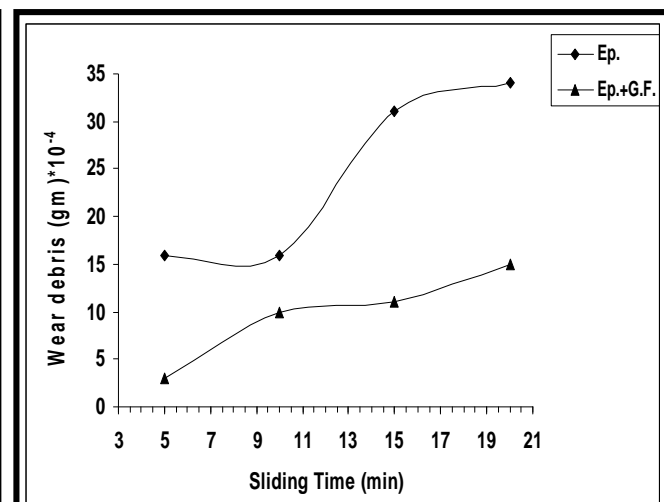
الشكل (9): (a, b, c and d) يوضح صورة فوتوغرافية لعينة من مادة الايبوكسي الغير المدعمة والخاضعة لفحص البلي (wear) تحت شروط التشغيل التالية: (الحمل المسلط = $20N$ ، $r = 7cm$ ، زمن الانزلاق = $5min$ ، صلادة الدوار = $32HRC$)



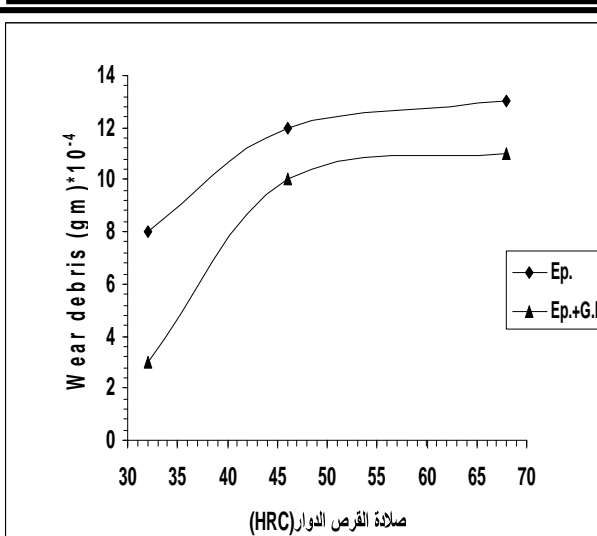
الشكل (10): (a) صورة مجهرية بقوة تكبير (270X) تشير إلى سطح المادة المتراكبة المدعمة بألياف الزجاج قبل الشروع بأجراء اختبار البلي (Wear) عليها. (b) صورة مجهرية بقوة تكبير (270X) تشير إلى سطح المادة المتراكبة المدعمة بألياف الزجاج بعد الشروع بأجراء اختبار البلي (Wear) عليها تحت ظروف تشغيل ثابتة (الحمل المسلط = $5N$ ، $r = 7cm$ ، زمن القرص الدوار = $32HRC$ و الزمن = $5min$). حيث يتبيّن عملية الحرث Ploughing action لنقوش المادة الأساسية Matrix. (c) صورة مجهرية بقوة تكبير (270X) تشير إلى سطح المادة المتراكبة المدعمة بألياف الزجاج بعد حدوث عملية الحرث الابتدائي واستمرارية الحرث وبروز النقوش الليفية تحت ظروف تشغيل ثابتة (الحمل المسلط = $5N$ ، $r = 7cm$ ، زمن القرص الدوار = $32HRC$ و الزمن = $5min$).



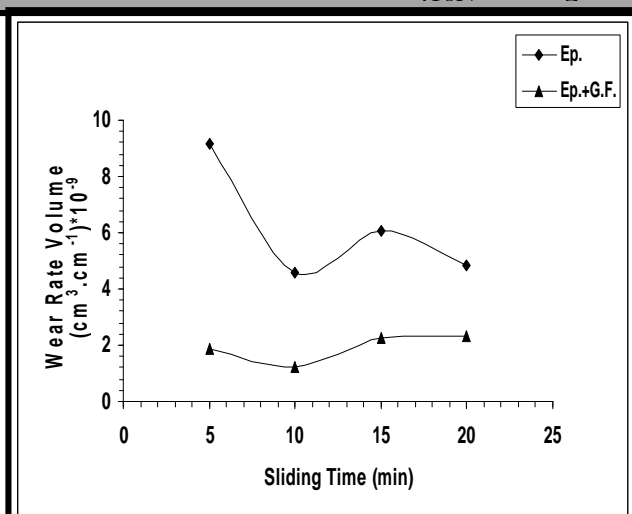
الشكل (12) يمثل العلاقة بين معدل البلى للنمذاج المحضر و زمن الانزلاق عندما $r = 7\text{cm}$, صلادة القرص الدوار $= 32\text{HRC}$, الحمل المسلط $= 10\text{N}$.



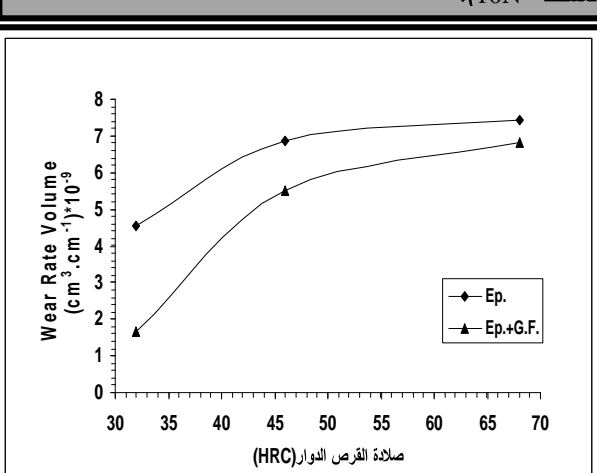
الشكل (11) يمثل العلاقة بين كمية حطام البلى للنمذاج المحضر و زمن الانزلاق عندما $r = 7\text{cm}$, صلادة القرص الدوار $= 32\text{HRC}$, الحمل المسلط $= 10\text{N}$.



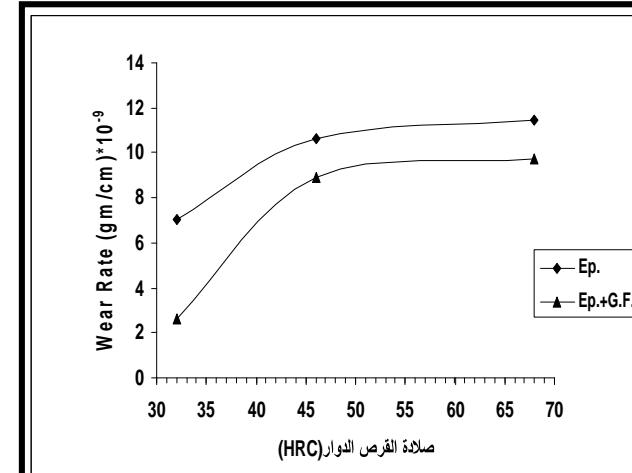
الشكل (14) يمثل العلاقة بين كمية حطام البلى للنمذاج المحضر و صلادة القرص الدوار ا عندما $r = 7\text{cm}$, زمن $= 5\text{min}$ و الحمل المسلط $= 10\text{N}$.



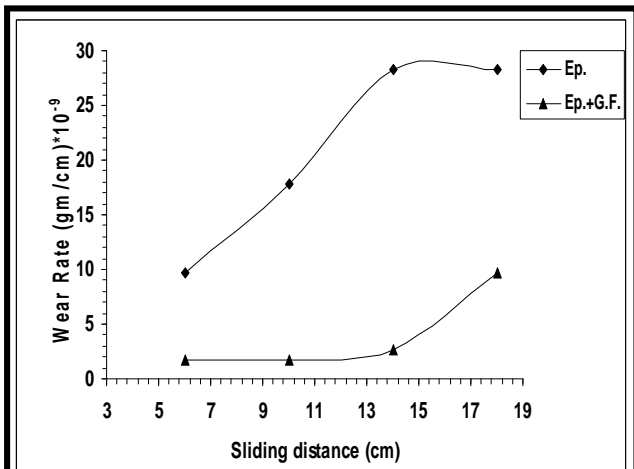
الشكل (13) يمثل العلاقة بين حجم البلى للنمذاج المحضر و زمن الانزلاق عندما $r = 7\text{cm}$, صلادة القرص الدوار $= 32\text{HRC}$, الحمل المسلط $= 10\text{N}$.



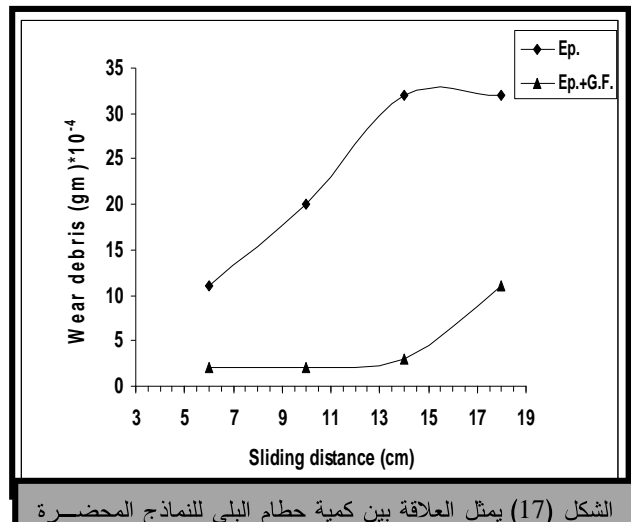
الشكل (16) يمثل العلاقة بين حجم البلى للنمذاج المحضر و صلادة القرص الدوار ا عندما $r = 7\text{cm}$, زمن $= 5\text{min}$ و الحمل المسلط $= 10\text{N}$.



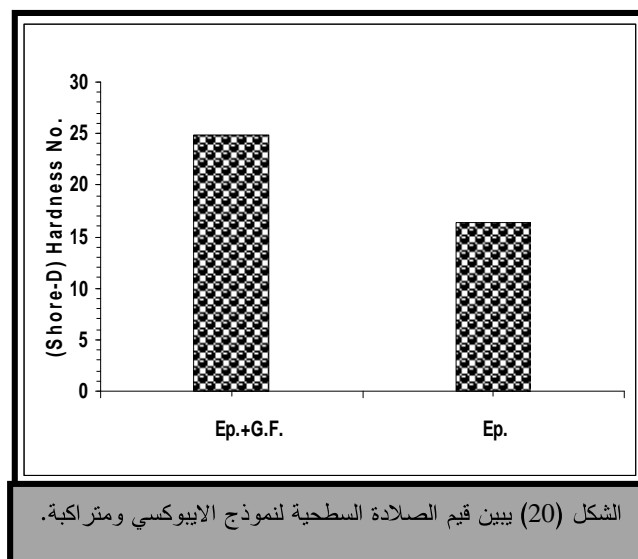
الشكل (15) يمثل العلاقة بين معدل البلى للنمذاج المحضر و صلادة القرص الدوار ا عندما $r = 7\text{cm}$, زمن $= 5\text{min}$ و الحمل المسلط $= 10\text{N}$.



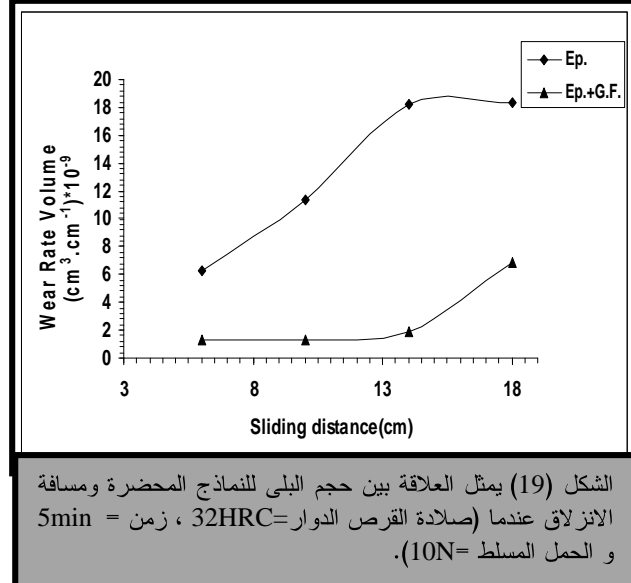
الشكل (18) يمثل العلاقة بين معدل البلى للنماذج المحضره ومسافة الانزلاق عندما (صلادة القرص الدوار = 32HRC ، زمن = 5min ، و الحمل المسلط = 10N).



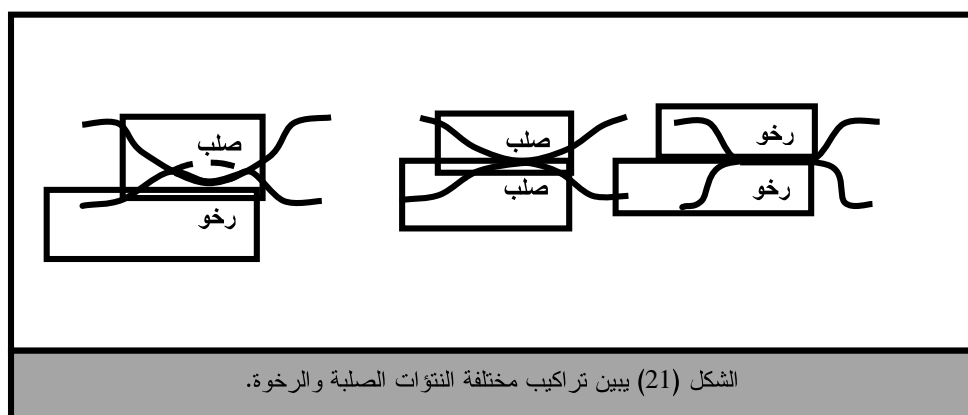
الشكل (17) يمثل العلاقة بين كمية حطام البلى للنماذج المحضره ومسافة الانزلاق عندما (صلادة القرص الدوار = 32HRC ، زمن = 5min ، و الحمل المسلط = 10N).



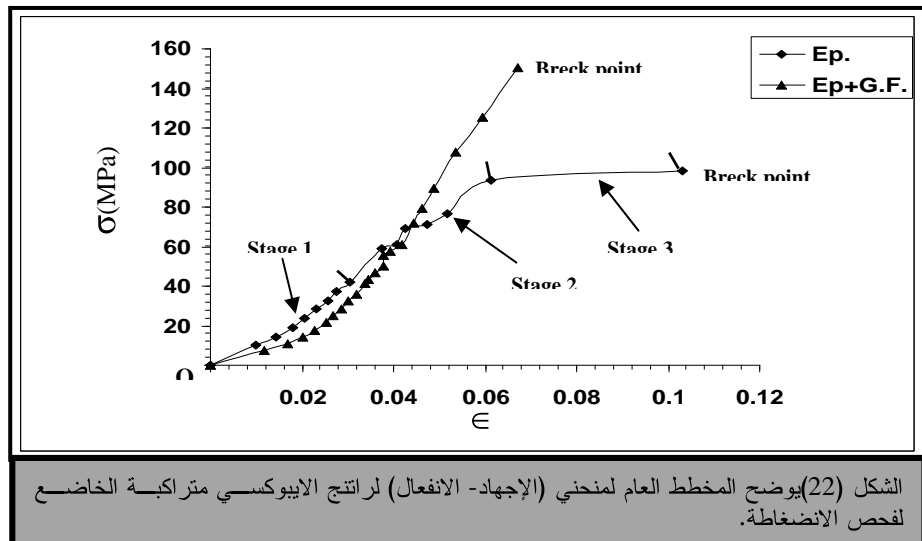
الشكل (20) يبيّن قيم الصلادة السطحية لنماذج الايبوكسي ومتراكبة.



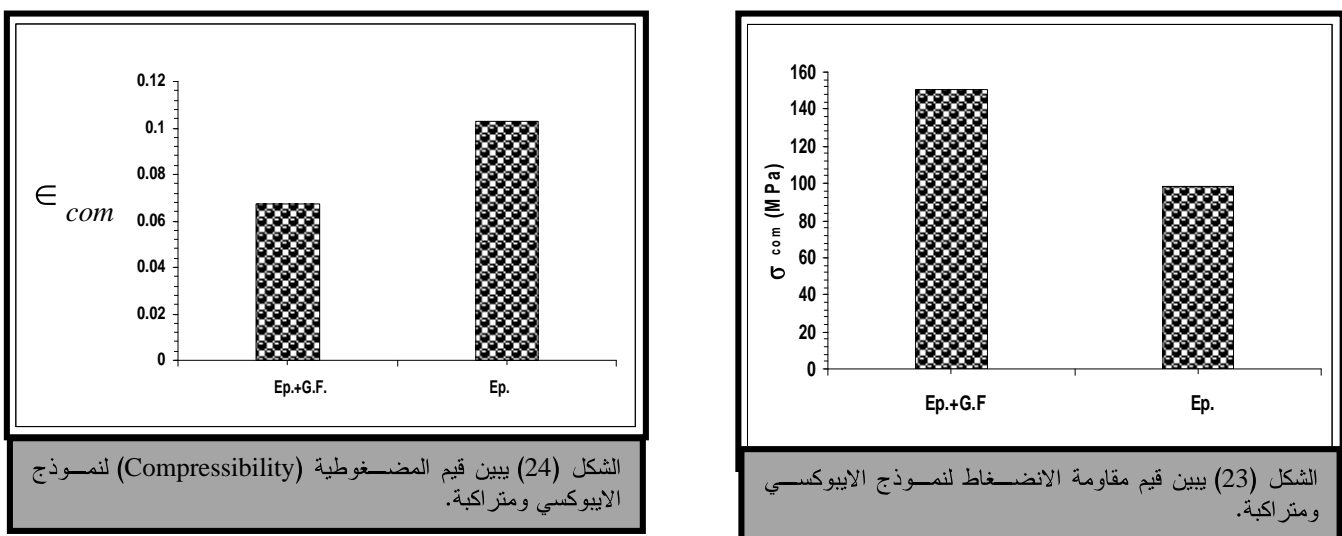
الشكل (19) يمثل العلاقة بين حجم البلى للنماذج المحضره ومسافة الانزلاق عندما (صلادة القرص الدوار = 32HRC ، زمن = 5min ، و الحمل المسلط = 10N).



الشكل (21) يبيّن تراكيب مختلفة للتوات الصلبة والرخوة.



الشكل (22) يوضح المخطط العام لمنحنى (الإجهاد- الانفعال) لراتج الايبوكسي متراكبة الخاضع لفحص الانضغاطة.



الشكل (24) يبين قيم المضخوطية (Compressibility) لنموذج الايبوكسي ومتراكبة.

الشكل (23) يبين قيم مقاومة الانضغاط لنموذج الايبوكسي ومتراكبة.

Study of Adhesive Wear of Epoxy Reinforced with glass fibers Composite Material

Rula Abdul Khider Abbas
Applied Sciences
/Material Sciences

Muzher Ali Sahib
Electromechanical Engineering
Technology University

Balkees Mohammed Dyaa
Applied Sciences
/Material Sciences

Abstract:

The dry wear, compression resistance and hardness of a material that consists of Epoxy reinforced with (25%) ratio of Glass fiber have been Studied.

A comparison is made between the properties of the composite at temperature ($20 \pm 2^{\circ}\text{C}$) with those of un reinforced Epoxy to find out the effect of reinforcement on the composite. Volume fraction for specimen was (25%) and the reinforcement material were continuous fiber oriented in woven raven.

The measurement of wear rate shows a decreases with reinforcement. Compression resistance and Hardness increase with reinforcement.

The results of compaction have clearly shown that wear rate and wear rate volume increasing normal applied load, sliding distance, time sliding and hardness of disc. The results also show that wear rate and wear rate volume for all materials increases with normal applied load and running time. The results also show that wear rate and wear rate volume decrease with increasing the applied with increasing the hardness of disc and sliding distance.

The topography of some physically tested was studied using optical microscopy

This document was created with Win2PDF available at <http://www.daneprairie.com>.
The unregistered version of Win2PDF is for evaluation or non-commercial use only.